

ОТРАЖЕНИЕ ПЛОСКОЙ УДАРНОЙ ВОЛНЫ ОТ ЖЕСТКОЙ ВОГНУТОЙ СТЕНКИ

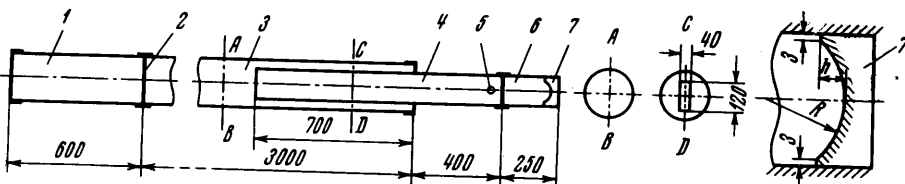
Е. Е. МЕШКОВ

(Москва)

Излагаются результаты экспериментального исследования отражения плоской стационарной ударной волны с числом Маха $1.21 \div 1.35$ от жесткой цилиндрических вогнутой стенки. Эксперименты проводились на ударной трубе. В технике эксперимента с ударными трубами отражение ударной волны от жесткой стенки часто используется для получения высоких температур [1]. Это связано с тем, что температура за отраженной волной значительно выше, чем за падающей.

Ниже показано, что замена плоской стенки, от которой отражается ударная волна, на вогнутую может привести к еще большему повышению температуры.

1. Эксперименты проводились на ударной трубе, конструкция которой аналогична описанной Шардином [2]. Камера 1 и канал 3 ударной трубы были изготовлены из обычной стальной трубы с внутренним диаметром 208 мм (фиг. 1). В конце цилиндрического канала 3 помещалась труба прямоугольного сечения 4, на конце которой крепилась измерительная



Фиг. 1

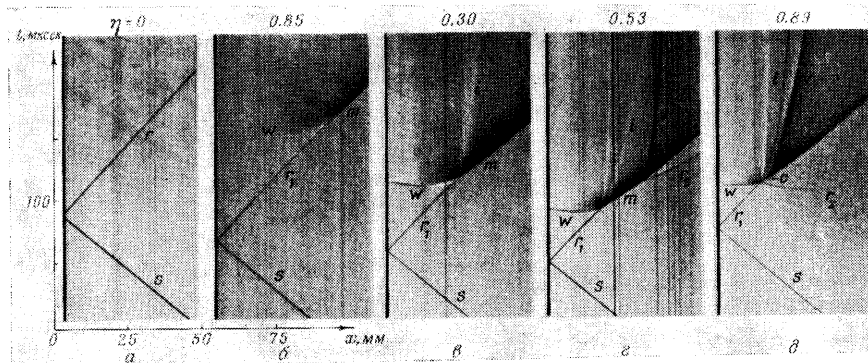
секция с плоскими стеклянными стенками 6. Передняя часть этой трубы с острыми кромками заходила в глубь цилиндрического канала. Таким образом, из ограниченной цилиндром ударной волны вырезался прямоугольный участок, а неиспользуемая часть заходила в заглушенный отсек и не влияла на картину течения в измерительной секции. В качестве рабочей диафрагмы 2 использовалась пленка из ацетата целлюлозы толщиной 0.2 мм в 1–3 слоя. По обе стороны диафрагмы был воздух: в канале — при атмосферном давлении, в камере — при 1.5, 2.5 и 3.5 ати. Соответственно, в канале получались ударные волны с числом Маха $M = 1.21, 1.28$ и 1.35.

Концевая часть измерительной секции заглушалась плотно входящей пробкой 7 из органического стекла. Внутренняя поверхность пробки имела вогнутую цилиндрическую форму (фиг. 1).

Процесс отражения ударной волны от этой стенки регистрировался с помощью теневого прибора ИАБ-451. При этом имелась возможность получать шлирные фотографии картины течения двух типов: мгновенные искровые фотографии и щелевые развертки ($x - t$ -диаграммы).

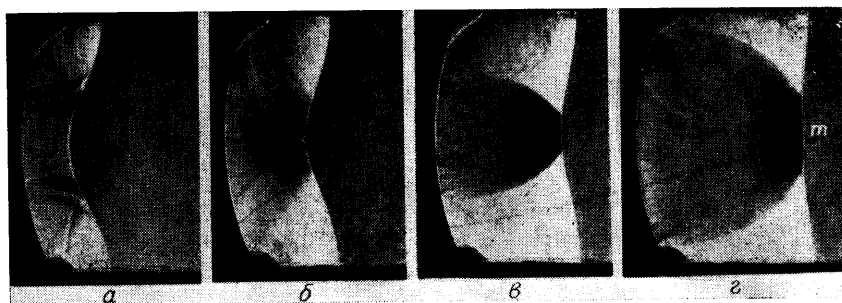
В первом случае использовался управляемый искровой источник света с аргоновой струей [3] с длительностью вспышки 0.1 мксек. Источник

света управлялся сигналом от пьезоэлектрического датчика 5, задержанным с помощью генератора ГИС-2. Регистрация картины течения производилась стандартной фотоприставкой к ИАБ-451 с кадром диаметром 25 мм. В каждом отдельном опыте получался один снимок на определенный момент времени.



Фиг. 2

Во втором случае использовался импульсный источник света ИФК-120 с длительностью вспышки ~ 2 мсек. На стекле измерительной секции крепился непрозрачный экран с щелью шириной $0.4 \div 0.5$ мм, совпадающей с плоскостью симметрии канала трубы. Регистрация процессов течения производилась при помощи скоростной камеры СФР, сочлененной оптически с теневой установкой.



Фиг. 3

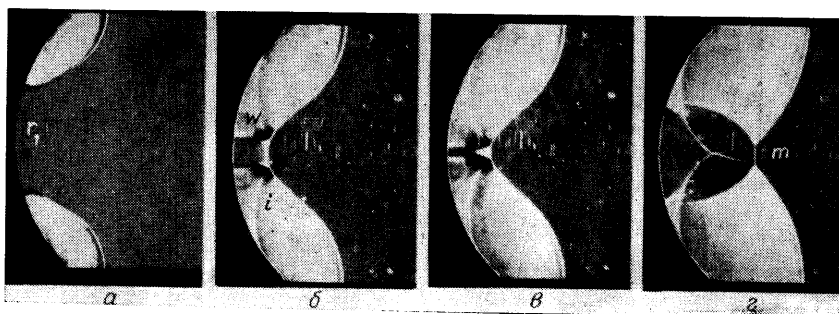
Пробой диафрагмы в первом случае производился стальной иглой, во втором случае — при помощи электрического взрыва проволочки, наклеенной на диафрагму. Это позволило синхронизировать работу ударной трубы и камеры СФР.

2. Величина вогнутости стенки, от которой отражается ударная волна, характеризуется безразмерным параметром $\eta = h/R$, где h — стрела прогиба и R — радиус поверхности (фиг. 1).

Была проведена серия экспериментов, в которых η варьировалась от 0 до 1. В результате экспериментов было установлено, что процесс отражения ударной волны от вогнутой стенки существенным образом зависит от

величины η . Чтобы проиллюстрировать изменения в характере течения в зависимости от η , ниже описано несколько типичных случаев, для которых проводился эксперимент. На фиг. 2 приведены $x - t$ -диаграммы, на фиг. 3—6 — искровые фотографии отдельных фаз течения для этих случаев.

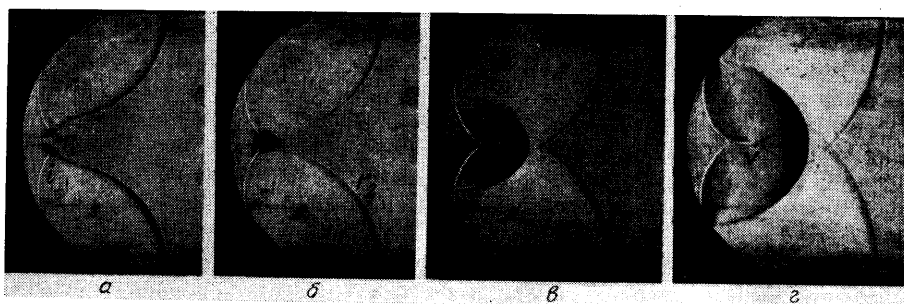
Первый случай: $\eta = 0$, $M = 1.28$ (фиг. 2, а). Этот случай является тривиальным и представляет собой нормальное отражение ударной волны от плоской стенки. На $x - t$ -диаграмме (фиг. 2, а) траектории падающей s и отраженной волны r представляют собой прямые линии.



Фиг. 4

Второй случай: $\eta = 0.085$, $M = 1.28$ (фиг. 2, б и 3). Как хорошо известно [4], при небольших углах падения ударной волны на стенку:

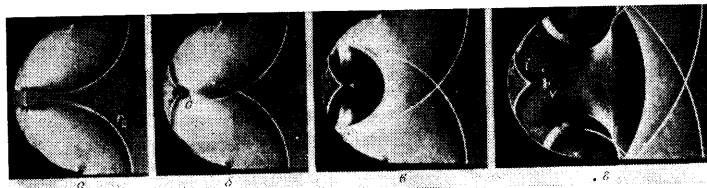
- угол отражения ударной волны в первом приближении пропорционален углу падения. При этом коэффициент пропорциональности приближается к единице при уменьшении амплитуды падающей волны;
- давление за фронтом ударной волны слабо зависит от угла падения.



Фиг. 5

Эти особенности приводят к тому, что отраженная от вогнутой стенки волна r_1 в области, близкой плоскости симметрии канала трубы, принимает цилиндрическую форму (фиг. 3, а). При этом начальный радиус этой волны $\sim \frac{1}{2}R$. Этот участок цилиндрически симметрично сходится к оси, расположенной на расстоянии $\sim \frac{1}{2}R$ от стенки. Наклон траектории отраженной волны r_1 на $x - t$ -диаграмме и, соответственно, ее скорость возрастают.

Симметричное схождение участка r_1 отраженной волны прерывается столкновением поперечных волн сжатия W (фиг. 3, $a - b$), которые движутся от периферии к плоскости симметрии. В центральной области давление растет вследствие коммюляции, тогда как на периферии давление падает — там волна расходится. Таким образом, поперечные волны движутся из областей пониженного давления в область повышенного давления. Этот парадоксальный на первый взгляд результат легко объяснить: при отражении ударной волны на наклонных участках стенки появляются



Фиг. 6

тangenциальные составляющие потока, направленные от периферии к центру. При торможении этих потоков возникают поперечные волны. Эти волны вначале имеют пологий фронт, т. е. являются простыми волнами сжатия. Однако по мере движения фронт этих волн обостряется, и они превращаются в ударные волны.

При столкновении поперечных волн в центральной зоне фронт отраженной ударной волны становится плоским. Здесь возникает конфигурация волн, соответствующая режиму нерегулярного отражения ударной волны с образованием волны Маха m (фиг. 3, c).

Третий случай: $\eta = 0.3$, $M = 1.28$. Искровые фотографии отдельных фаз течения приведены на фиг. 4, $x - t$ -диаграмма — на фиг. 2, c . При достаточно больших η начальный угол падения ударной волны становится больше критического, вследствие чего вначале возникает нерегулярный режим отражения ударной волны, который затем переходит в режим регулярного отражения вследствие непрерывного уменьшения угла падения по мере движения ударной волны в глубь выемки. Существенным отличием этого случая от предыдущего является то, что образующиеся поперечные волны с момента своего зарождения являются ударными волнами (фиг. 4, a, b). Об этом говорит характер их изображения на теневых фотографиях и излом отраженной волны в точке пересечения. Поперечные волны зарождаются в точке, где происходит смена режимов отражения падающей волны s (фиг. 4, a), и движутся от периферии к центральной зоне. Линия i , по которой движется точка пересечения поперечной волны и отраженной волны, отделяет области двух и трехкратного сжатия. Эта линия является тangenциальным разрывом — области, которые она отделяет, обладают разной энтропией и плотностью. Поэтому эта линия хорошо видна на теневом снимке.

При столкновении поперечных волн наклон траектории на $x - t$ -диаграмме i , следовательно, скорость отраженной волны в центральной зоне скачком возрастает, но коммюляция прекращается, а фронт волны приобретает конфигурацию, соответствующую режиму нерегулярного отражения с образованием волны Маха m (фиг. 4, c).

Четвертый случай: $\eta = 0.53$, $M = 1.28$. Искровые фотографии отдельных фаз течения приведены на фиг. 5, $x - t$ -диаграмма — на фиг. 2, d . В начальной стадии течения повторяются в общих чертах особенности

третьего случая (фиг. 5, а). Однако с момента образования волны Маха в центральной области (фиг. 5, б) характер течения резко изменяется. Боковые ветви отраженной волны r_2 (фиг. 5, б) имеют точку перегиба — в области, примыкающей к волне Маха, отраженная волна остается сходящейся. Область, занятая образовавшейся волной Маха, сужается; в результате возникает режим регулярного отражения (фиг. 5, в). Скорость движения точки пересечения боковых ветвей отраженной волны вначале выше скорости фронта волны, возникшей при взаимодействии поперечных волн. В результате появляются две волны: первичная и вторичная (фиг. 5, в, г). В месте отрыва первичной волны от вторичной образуется двухголовый вихрь V . Размеры вихревой области растут со временем.

Пятый случай: $\eta = 0.89$, $M = 1.28$.

Фотографии отдельных фаз течения приведены на фиг. 6, $x - t$ -диаграмма — на фиг. 2, д. В этом случае боковые ветви отраженной волны r_2 сталкиваются на плоскости симметрии раньше, чем столкнутся поперечные волны W (фиг. 6, а, б). Таким образом, часть фронта отраженной волны образует замкнутую область в форме треугольника. После смыкания этой области формируется вторичная расходящаяся волна (фиг. 6, б). Однако она не везде расходится — в центральной области имеется участок c , где волна сходится. Фронт ударной волны в этом месте дважды терпит излом. Этот излом быстро выглаживается, и вторичная волна становится расходящейся по всему фронту (фиг. 6, в).

В этом случае также образуется вихревая область V . Отдельные фазы ее развития прослеживаются по фотографиям (фиг. 6, в, г).

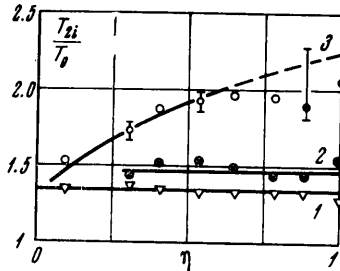
3. Временные развертки ($x - t$ -диаграммы) течения в плоскости симметрии канала измерительной секции, полученные для различных η , удобны тем, что дают возможность получить некоторые количественные характеристики течения. Зная скорость падающей и отраженной волн и уравнение состояния среды (в данном случае идеальный газ с $\gamma = 1.4$), можно вычислить температуру, давление и другие параметры состояния за фронтом отраженной волны. Скорость падающей и отраженной волн измерялась по наклону траекторий на $x - t$ -диаграммах с помощью микроскопа МБИ-1 с 30-кратным увеличением. При расчетах принимались значения $\gamma = 1.4$ и начальная скорость звука воздуха перед падающей волной $C_0 = 345 \text{ м/сек}$.

На фиг. 7 приведены результаты вычислений отношения температуры за фронтом отраженной волны к начальной T_{21} / T_0 (кривая 1), T_{22} / T_0 (кривая 2) и T_{23} / T_0 (кривая 3) как функции η при $M = 1.28$.

На фиг. 8 приведены зависимости отношений давления P_{21} / P_0 (кривая 1), P_{22} / P_0 (кривая 2) и P_{23} / P_0 (кривая 3) от величины η при $M = 1.28$.

Зависимости T_{21} / T_0 (кривая 1), T_{22} / T_0 (кривая 2) и T_{23} / T_0 (кривая 3) от M для $\eta = 0.53$ приведены на фиг. 9. Индекс 0 относится к начальному состоянию воздуха в канале трубы. Индекс 21 относится к состоянию непосредственно после отражения волны от стенки на плоскости симметрии канала трубы, 22 — к моменту столкновения поперечных волн (состоиние в конце фазы цилиндрически симметричного схождения отраженной волны), 23 — к моменту максимальной скорости отраженной волны.

Из графиков фиг. 7—9 следует, что с увеличением η при постоянном M и увеличении M при фиксированном η максимально достижимые значе-

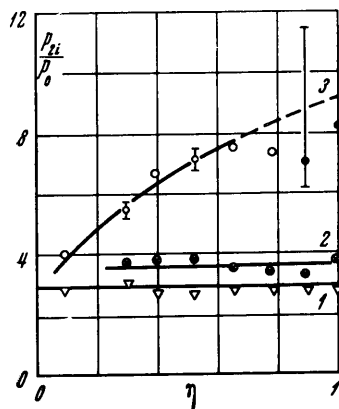


Фиг. 7

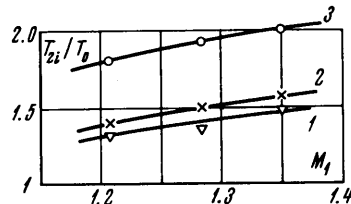
ния температуры и давления растут. С увеличением η и, следовательно, отношений T_{23}/T_0 , P_{23}/P_0 размеры области, в которой достигается максимальная температура, быстро уменьшаются, а точность измерений заметно падает. Происходит это по следующим причинам:

1) быстро изменяется наклон траектории отраженной волны на $x-t$ -диаграмме. При этом становится недостаточным разрешение негатива, по которому ведется измерение. Ошибка в измерении наклона траектории может быть значительной (фиг. 7, 8);

2) с уменьшением размера области, в которой достигается максимальная температура, становит-



Фиг. 8



Фиг. 9

ся более существенной шириной рабочей щели на измерительной секции и ее смещение относительно плоскости симметрии течения. В описываемых экспериментах ширина щели составляла $0.4 \div 0.5$ мм и ее смещение относительно плоскости симметрии не превышало $0.5 \div 0.7$ мм;

3) для $\eta = 0.89$ и 1 вычисления должны давать несколько заниженные значения T_{23} и P_{23} , так как в данном случае вторичная волна (за которой достигается максимальная температура) идет по газу, сжатому дополнительно боковыми ветвями отраженной волны r_2 (фиг. 6, в).

Из графика фиг. 9 следует, что T_{23} растет с ростом M . Интервал изменения M мал, и из графика не совсем ясен характер изменения отношения T_{23}/T_{21} с ростом M . Однако T_{23}/T_{21} должно стремиться к единице при $M \rightarrow 1$, поэтому можно предположить, что при экстраполяции в обратную сторону отношение T_{23}/T_{21} будет возрастать. Отсюда следует, что в случае отражения от вогнутой стенки возможно получение равновысоких температур при заметно меньших M по сравнению со случаем отражения от плоской стенки.

Как было показано выше, картина течения при отражении ударной волны от вогнутой стенки весьма сложна и не может быть описана аналитически с помощью простых средств.

Как было показано Бриско и Ковитцем [5], в случае отражения ударной волны от слабо искривленной стенки характер изменения амплитуды возмущения фронта ударной волны со временем достаточно хорошо описывается теорией, развитой Зайделем [6]. По-видимому, в рассматриваемом случае теория [6] позволяет описать характер течения в общих чертах в случае малых η . Появление нелинейных эффектов при больших η : поперечных ударных волн, распада течения на две волны, появления вихря и т. д.— не может быть описано этой теорией, основанной на линеаризации гидродинамических уравнений. По-видимому, точное описание такого рода течений возможно только на основе двумерных расчетов с применением ЭВМ.

В заключение отметим, что описанные результаты экспериментов по отражению ударной волны от цилиндрически вогнутой стенки позволяют высказать некоторые предположения о характере отражения от сферически вогнутой стенки. В этом случае отраженная волна должна иметь сферическую форму и кумулятивный эффект должен проявляться с еще большей силой. Помимо этого поперечная волна должна иметь симметричную цилиндрическую форму. При схождении этой волны в принципе возможно достижение «жесткой» фокусировки и получения существенно более высоких температур [?].

Поступило 20 II 1968

ЛИТЕРАТУРА

1. Glass J., Patterson G. A theoretical and experimental study of shock — tube flows. J. Aero. Sci., 1953, vol. 22, No. 2, pp. 73—100. (Рус. перев.: В сб. «Ударные трубы», М., Изд-во иностр. лит., 1962.)
2. Schardin H. Ein Beispiel zur Verwendung des Stoßwellenrohres für Probleme der Instationären Gasdynamik. Z. angew. Math. Phys., 1958, Bd 9, Nr 5/6, S. 606—621. (Рус. перев.: В сб. «Ударные трубы», М., Изд-во иностр. лит., 1962.)
3. Holder D. W., North R. J. Schlieren methods. London, 1963. (Рус. перев.: Теневые методы в аэродинамике. М., «Мир», 1966, стр. 97.)
4. Courant R., Friedrichs K. O. Supersonic flow and shock waves. N. Y., 1948. (Рус. перев.: Сверхзвуковое течение и ударные волны. М., Изд-во иностр. лит., 1950, стр. 309.)
5. Briscoe M. G., Kovitz A. A. Experimental and theoretical study of the stability of plane shock waves reflected normally from perturbed flat walls. J. Fluid. Mech., 1968, vol. 31, No. 3, pp. 529—546.
6. Зайдель Р. М. Ударная волна от слабо искривленного поршня. ПММ, 1960, т. 24, вып. 2, стр. 219—227.
7. Perry R. W., Kantrowitz A. The production and stability of converging shock waves. J. Appl. Phys., 1951, vol. 22, No. 7, pp. 878—886.